

CONSTITUINTES QUÍMICOS DE *Solanum buddleifolium* SENDTN

Francisco das Chagas L. Pinto, Maria da Conceição M. Torres, Edilberto R. Silveira e Oflia Deusdênia L. Pessoa*

Departamento de Química Orgânica e Inorgânica, Centro de Ciências, Universidade Federal do Ceará, CP 12.200, 60021-940 Fortaleza – CE, Brasil

Raimundo Braz-Filho

Departamento de Química, Universidade Estadual do Norte Fluminense, 28013-602 Campos – RJ, Brasil

Maria Lenise da Silva Guedes

Departamento de Botânica, Instituto de Biologia, Universidade Federal da Bahia, 40170-115, Campus Universitário de Ondina – BA, Brasil

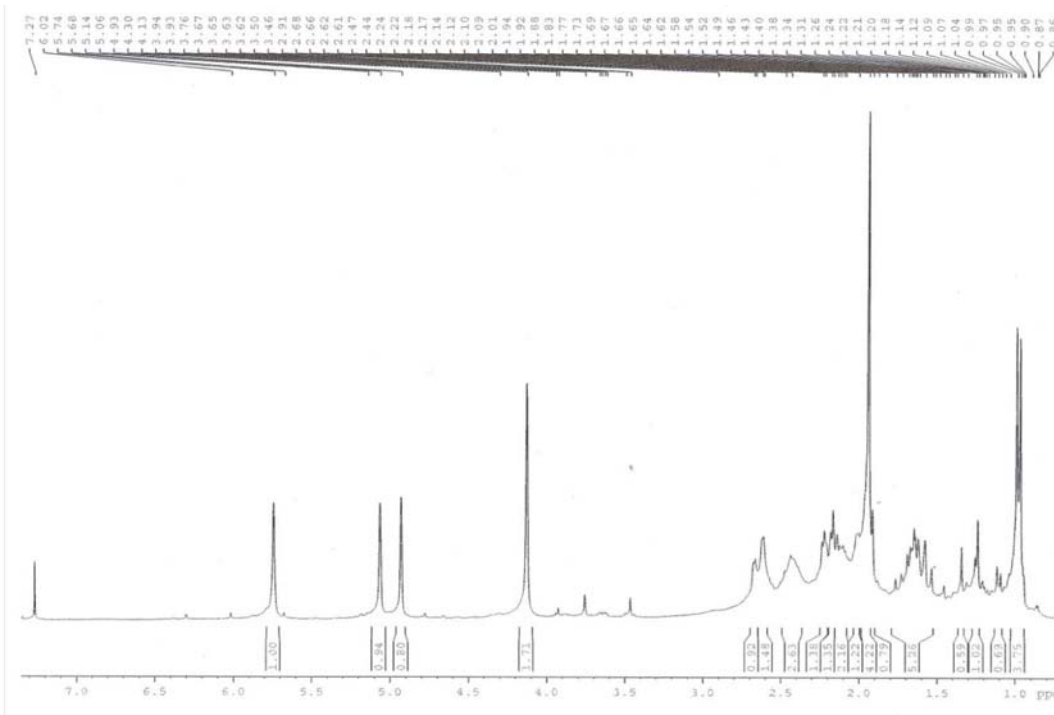


Figura 1S. Espectro de RMN ¹H (300 MHz, CDCl₃) de 2

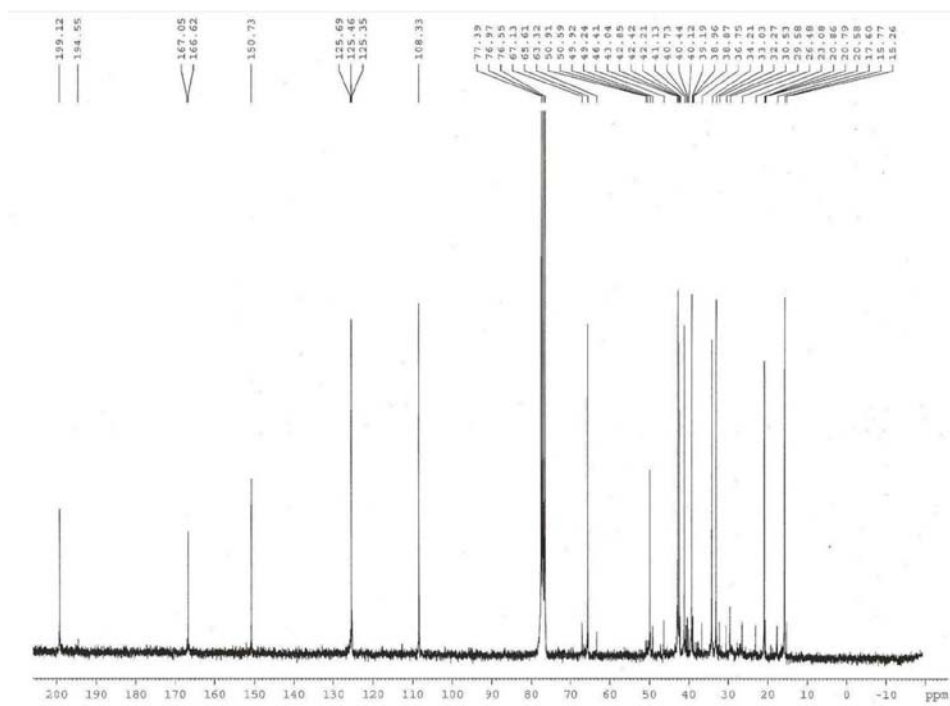


Figura 2S. Espectro de RMN ^{13}C (75 MHz, CDCl_3) de 2

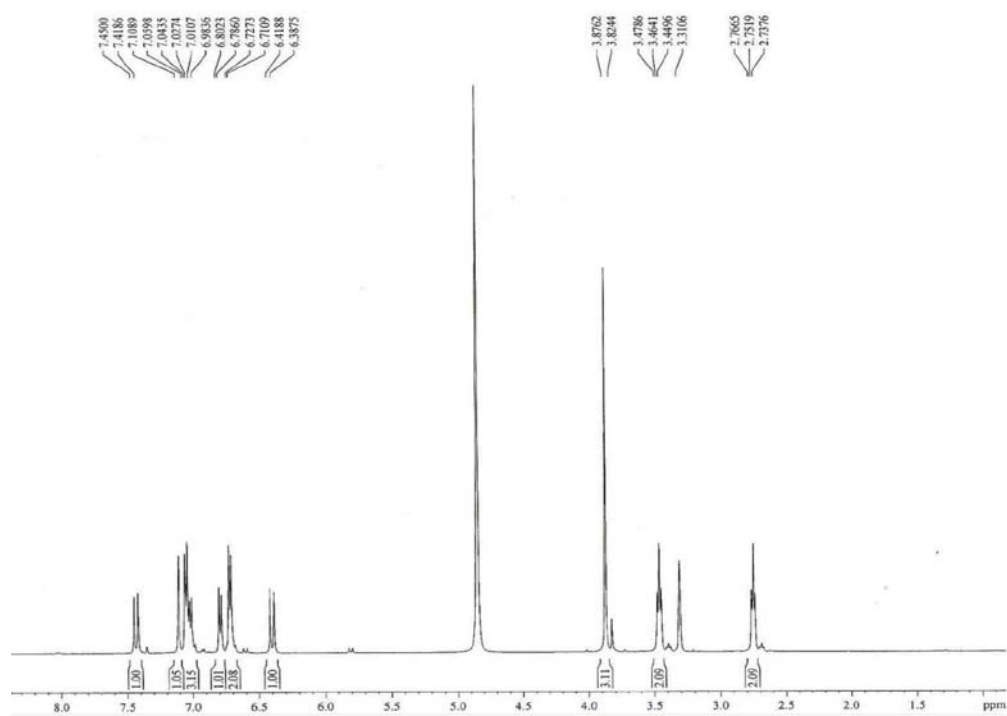


Figura 3S. Espectro de RMN ^1H (500 MHz, CD_3OD) de 3

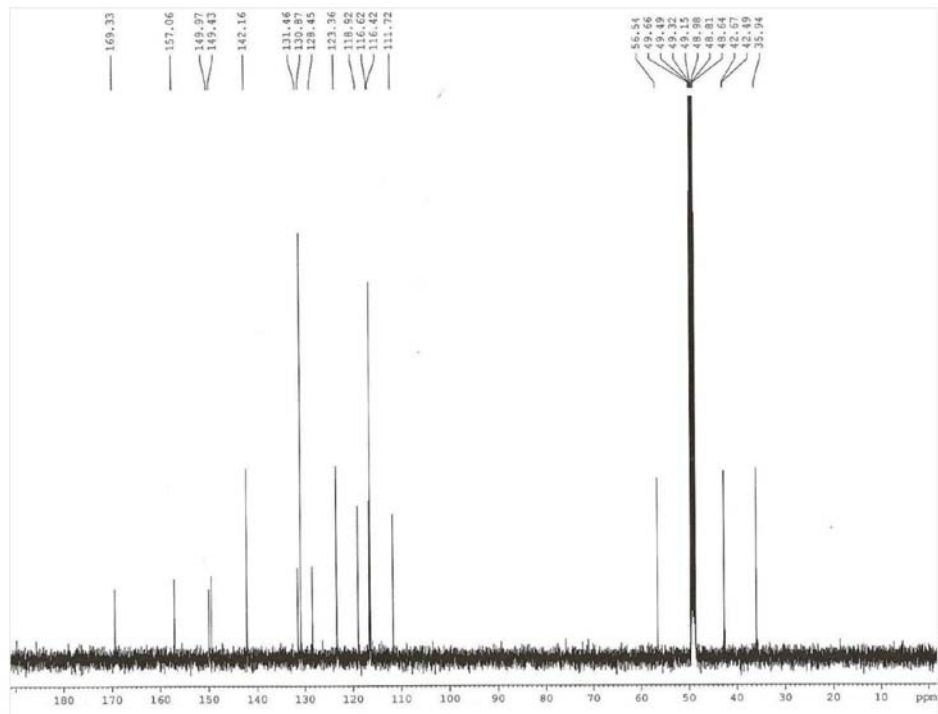


Figura 4S. Espectro de RMN ¹³C (125 MHz, CD₃OD) de 3

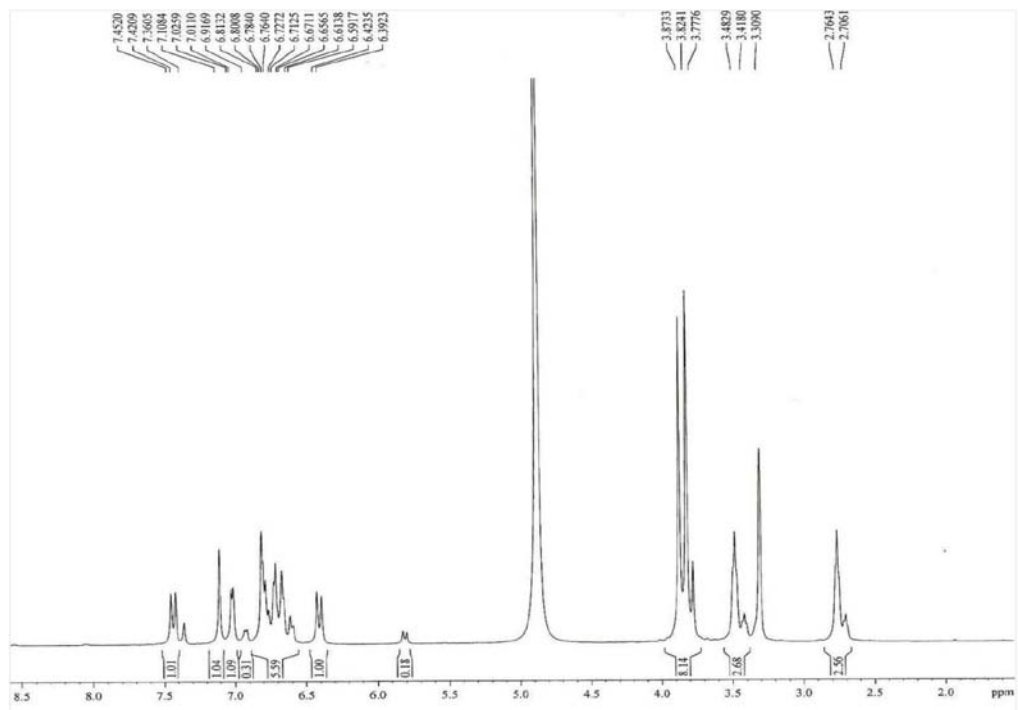


Figura 5S. Espectro de RMN ¹H (500 MHz, CD₃OD) de 4

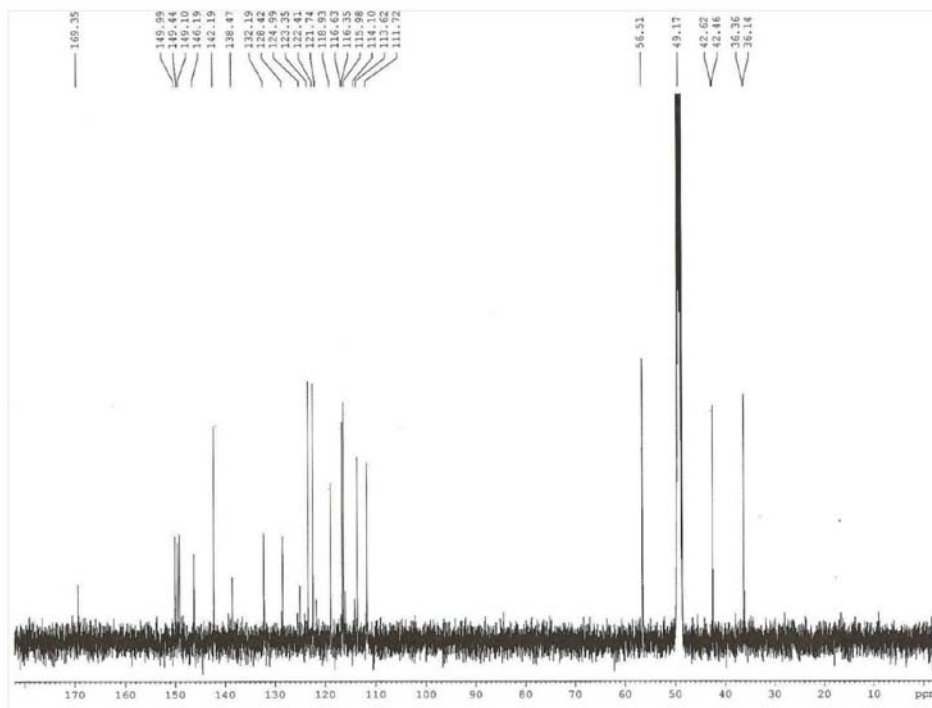


Figura 6S. Espectro de RMN ^{13}C (125 MHz, CD_3OD) de **4**

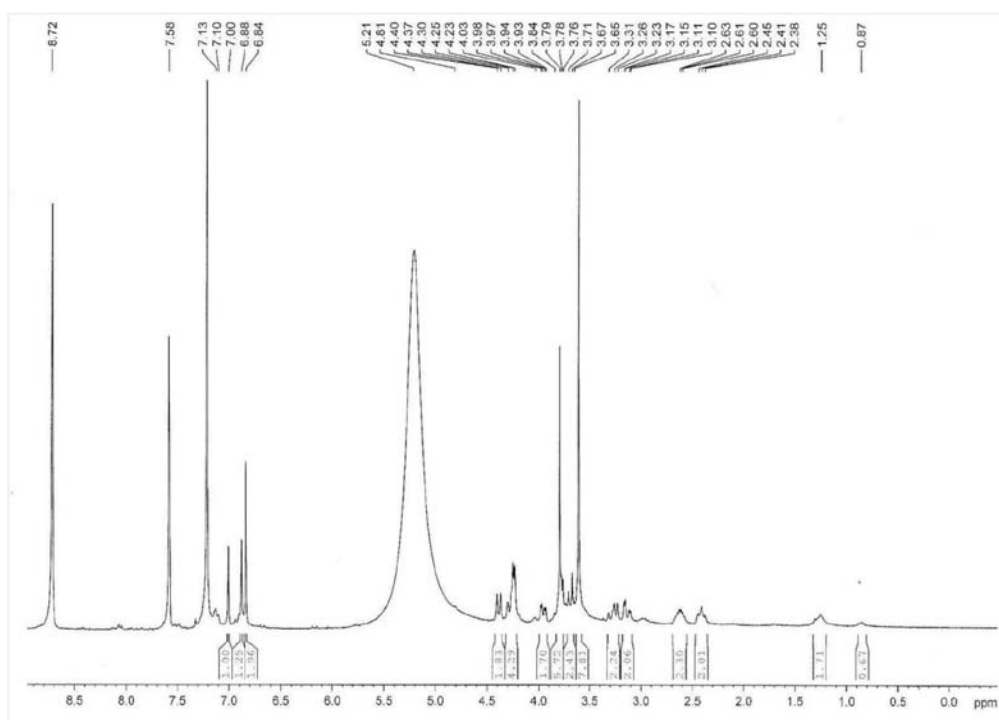


Figura 7S. Espectro de RMN ^1H (300 MHz, $\text{C}_3\text{D}_3\text{N}$) de **5**

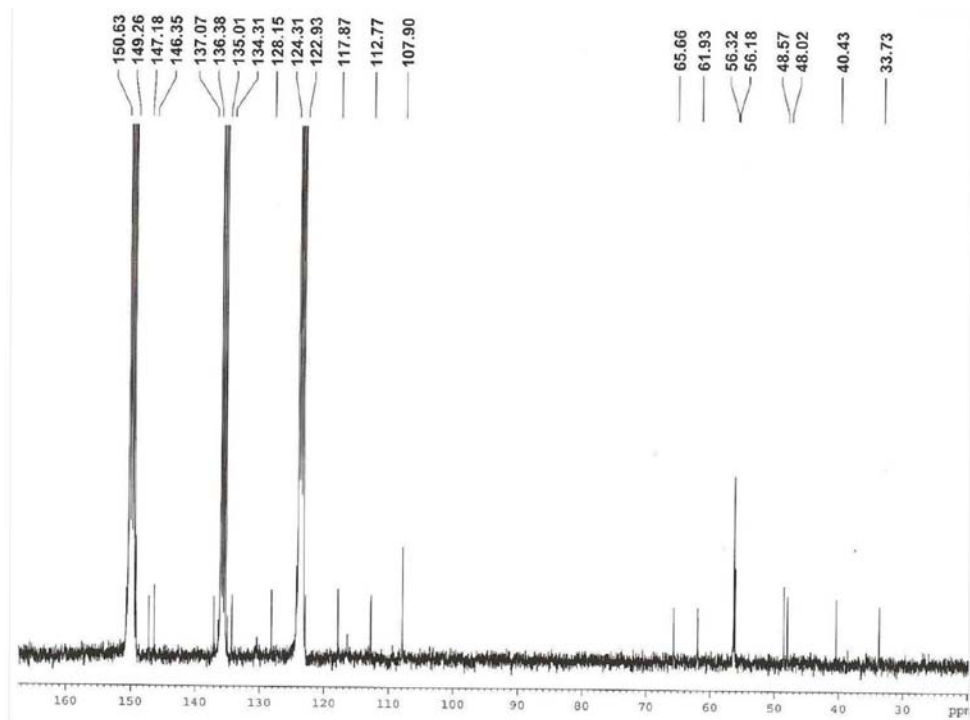


Figura 8S. Espectro de RMN ^{13}C (75 MHz, $\text{C}_3\text{D}_3\text{N}$) de 5

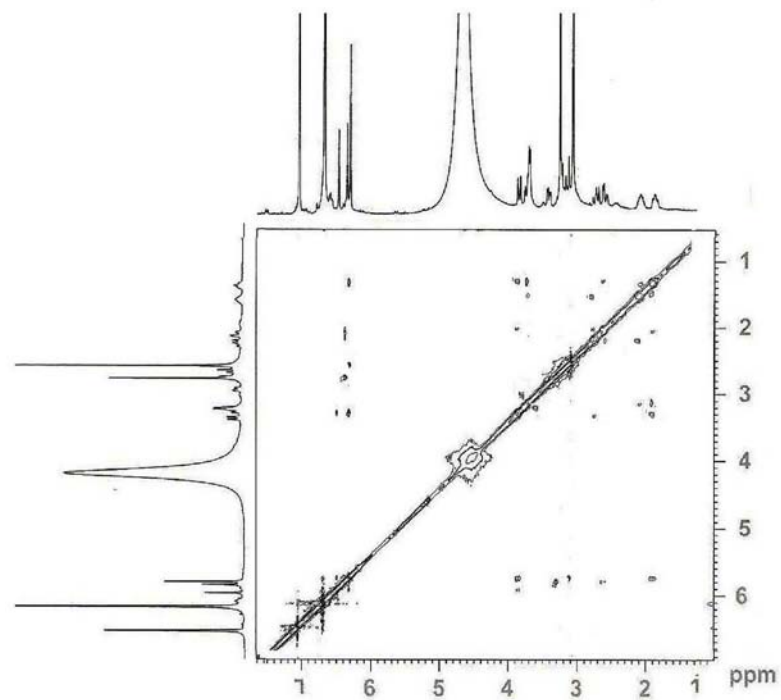


Figura 9S. Espectro de RMN ^1H , ^1H NOESY (300 x 300 MHz, $\text{C}_3\text{D}_3\text{N}$) de 5

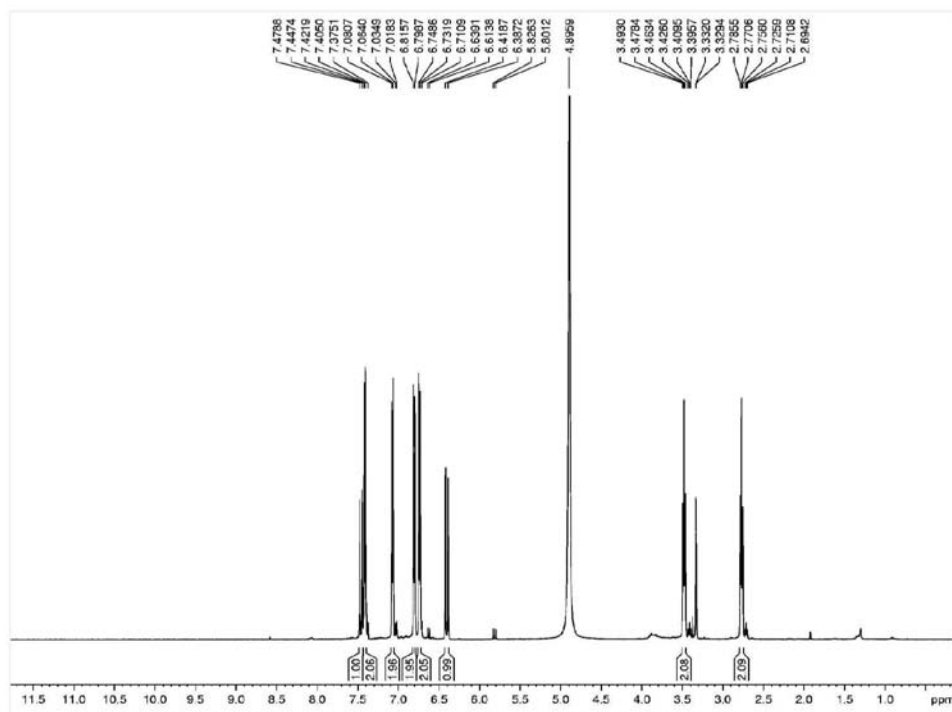


Figura 10S. Espectro de RMN ^1H (500 MHz, CD_3OD) de **6**

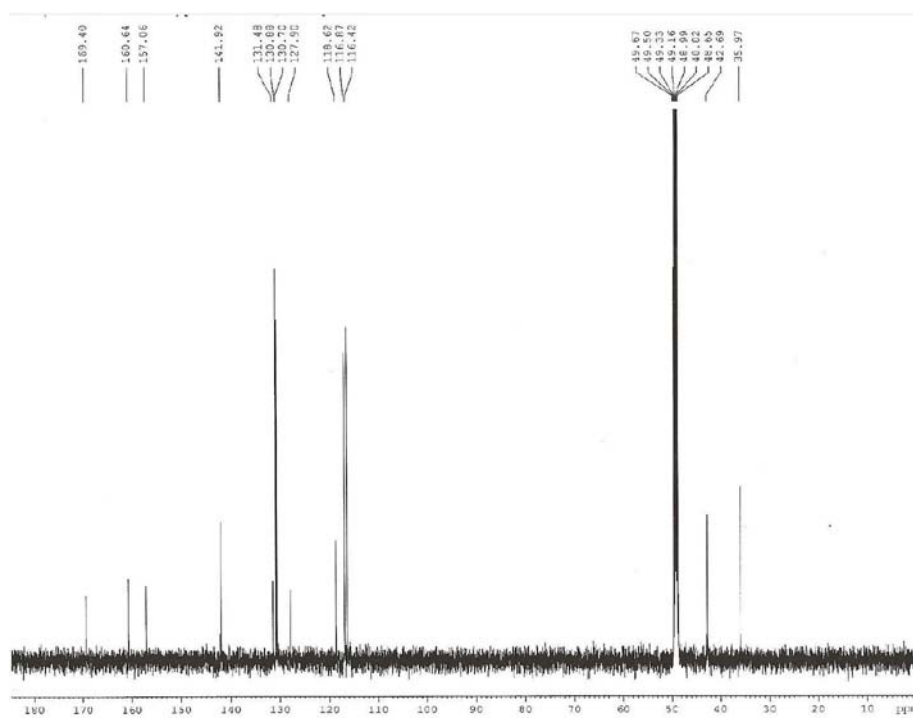


Figura 11S. Espectro de RMN ^{13}C (125 MHz, CD_3OD) de **6**

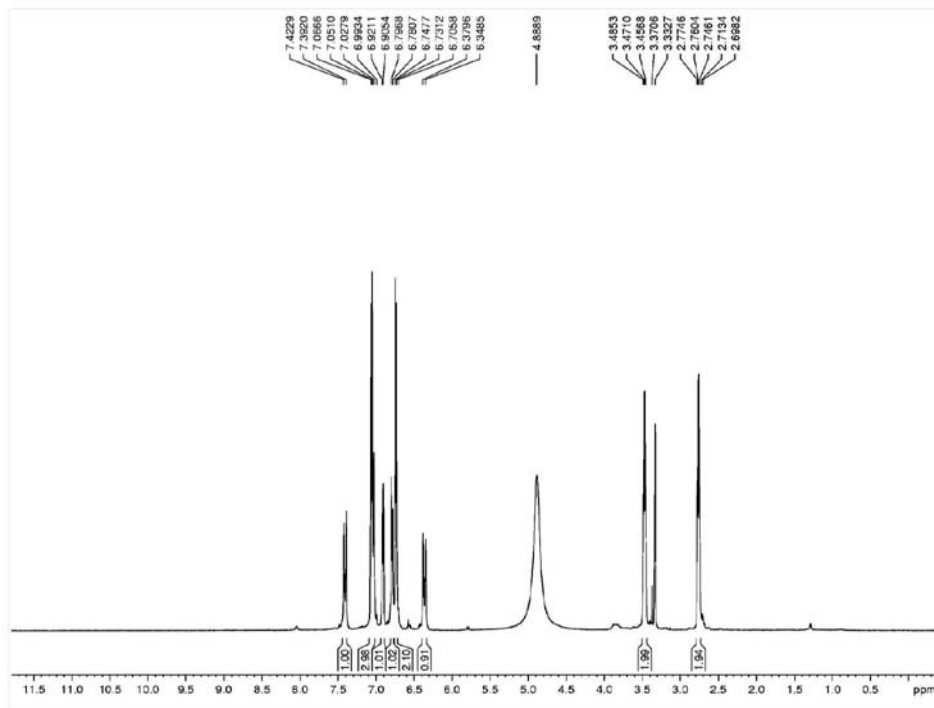


Figura 12S. Espectro de RMN ^1H (500 MHz, CD_3OD) de 7

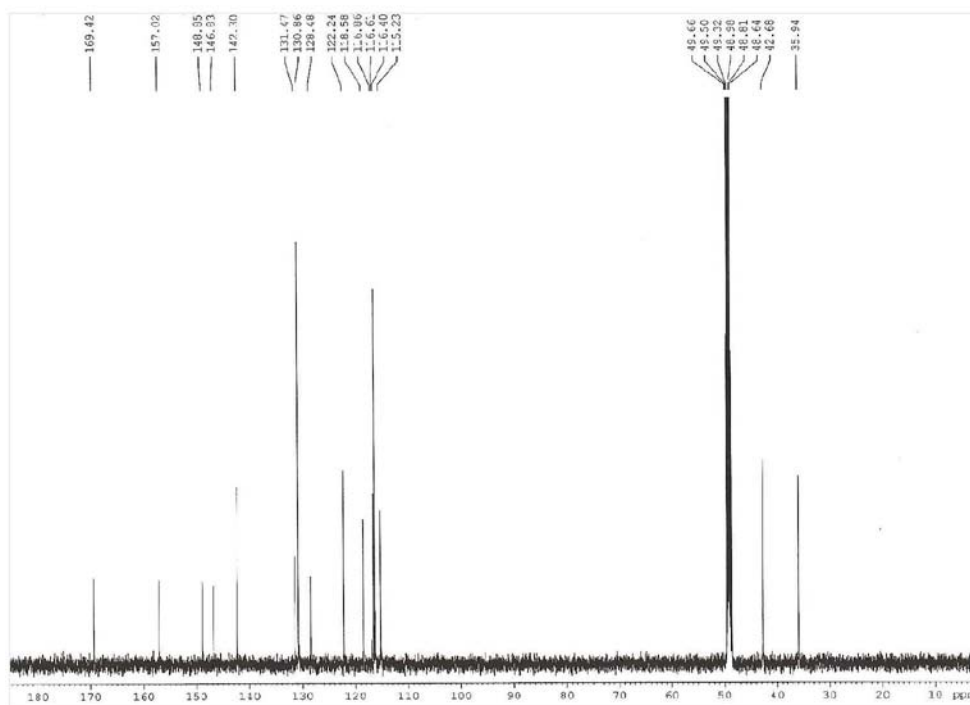


Figura 13S. Espectro de RMN ^{13}C (125 MHz, CD_3OD) de 7

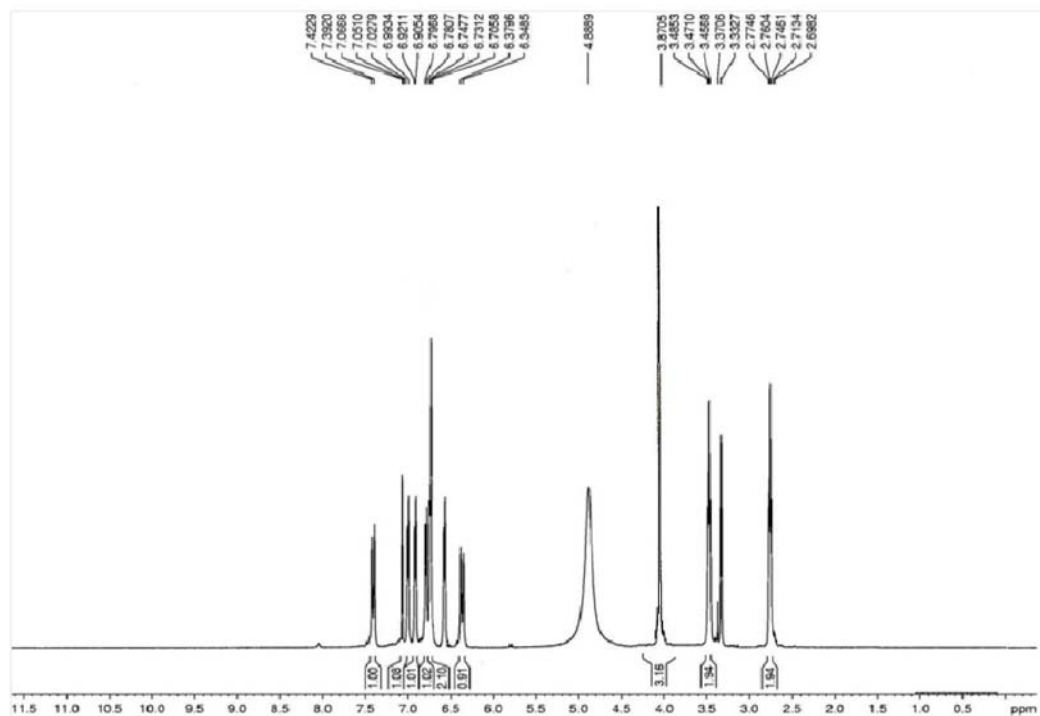


Figura 14S. Espectro de RMN ^1H (500 MHz, CD_3OD) de 8

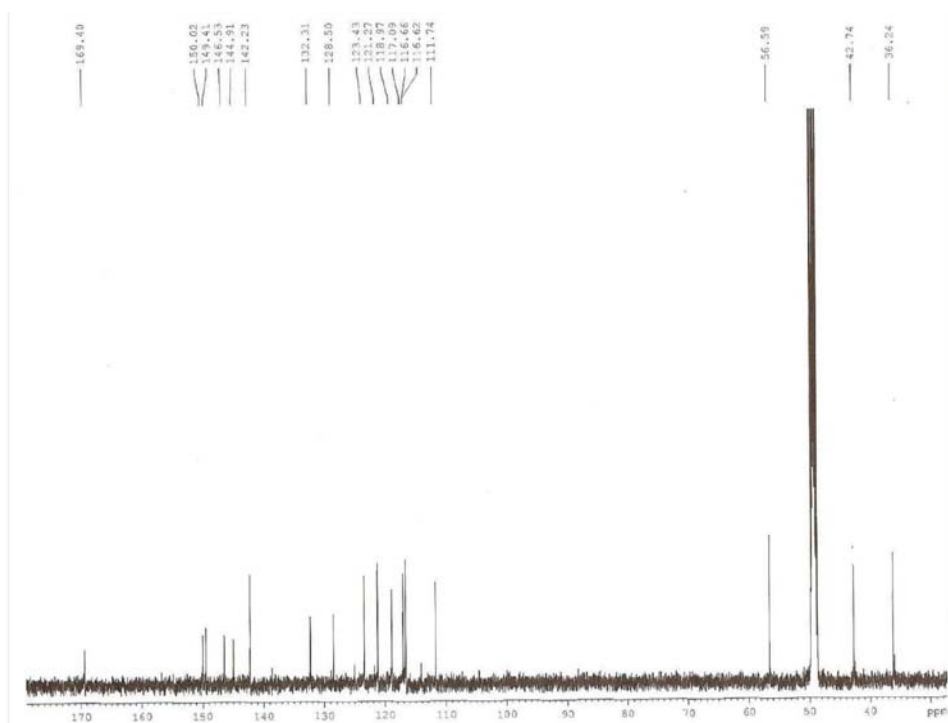


Figura 15S. Espectro de RMN ^{13}C (125 MHz, CD_3OD) de 8

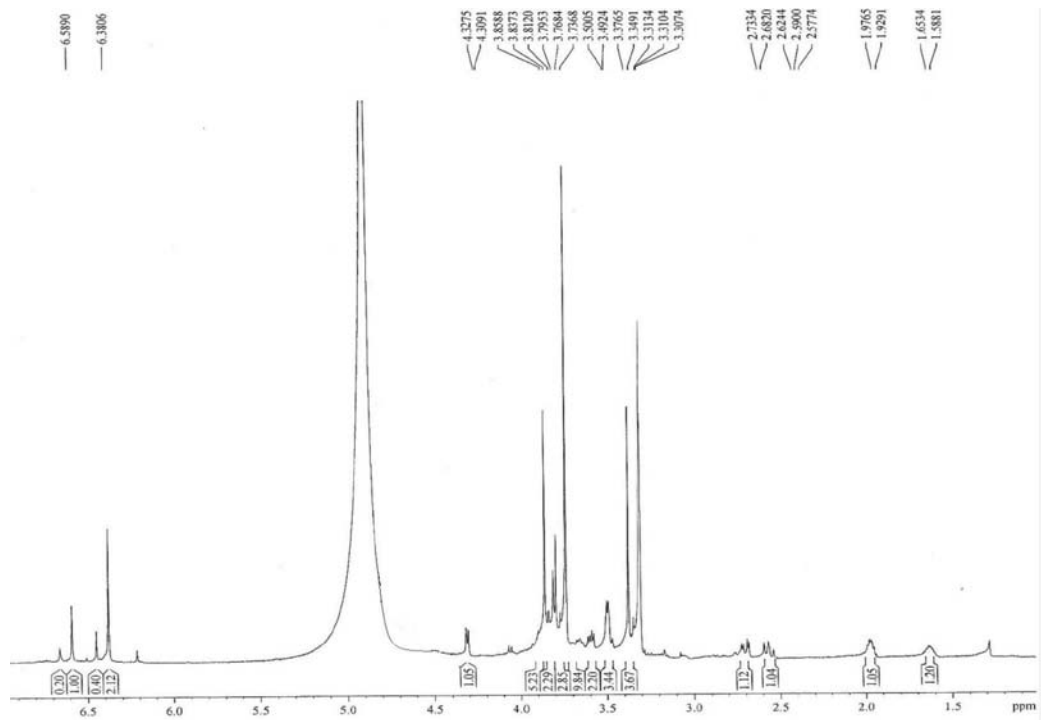


Figura 16S. Espectro de RMN ^1H (300 MHz, CD_3OD) de **9**

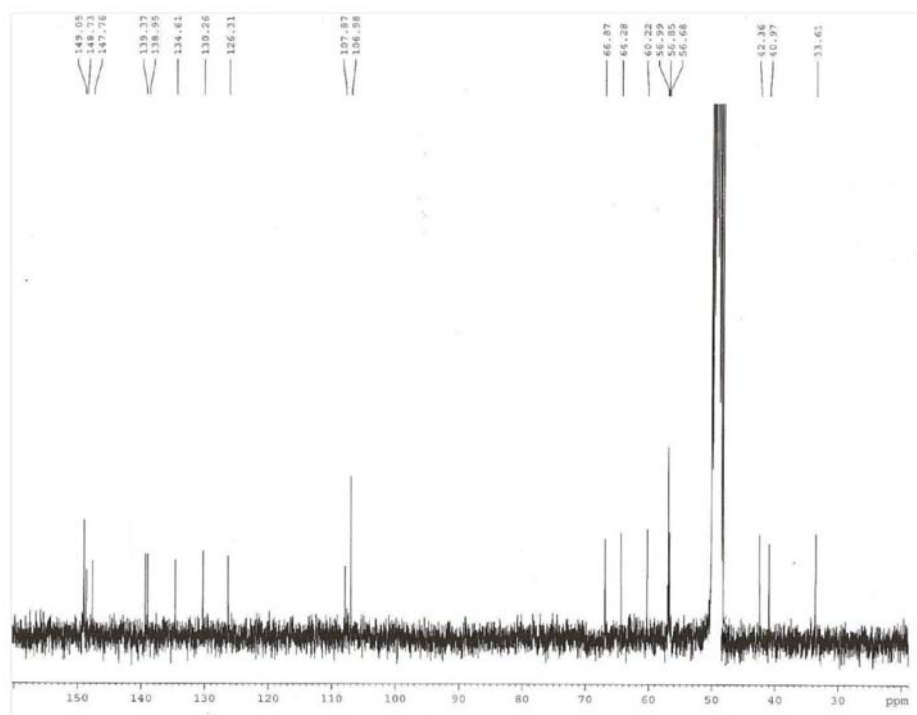


Figura 17S. Espectro de RMN ^{13}C (75 MHz, CD_3OD) de **9**

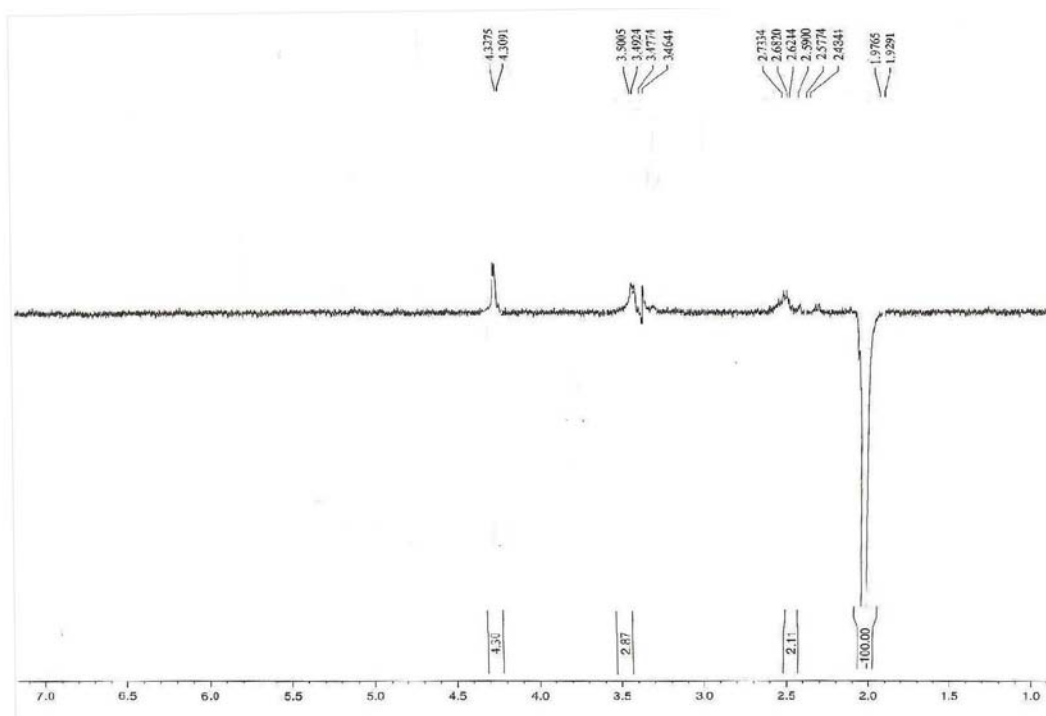


Figura 18S. Espectro de RMN ^1H NOE seletivo (300 MHz, CD_3OD) de **9**

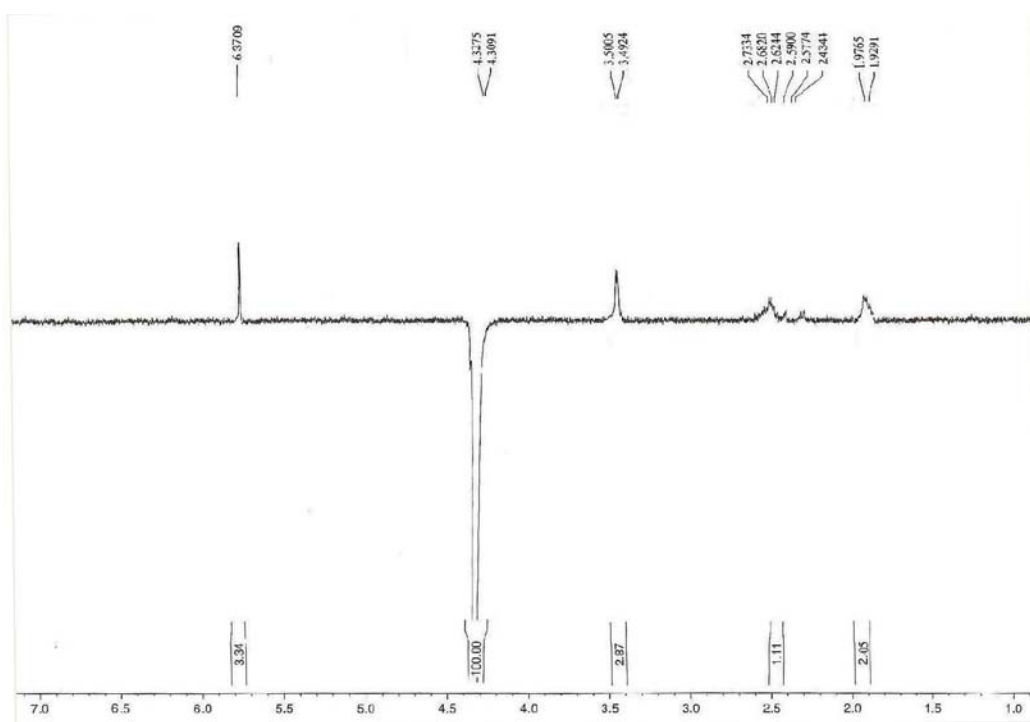


Figura 19S. Espectro de RMN ^1H NOE seletivo (300 MHz, CD_3OD) de **9**

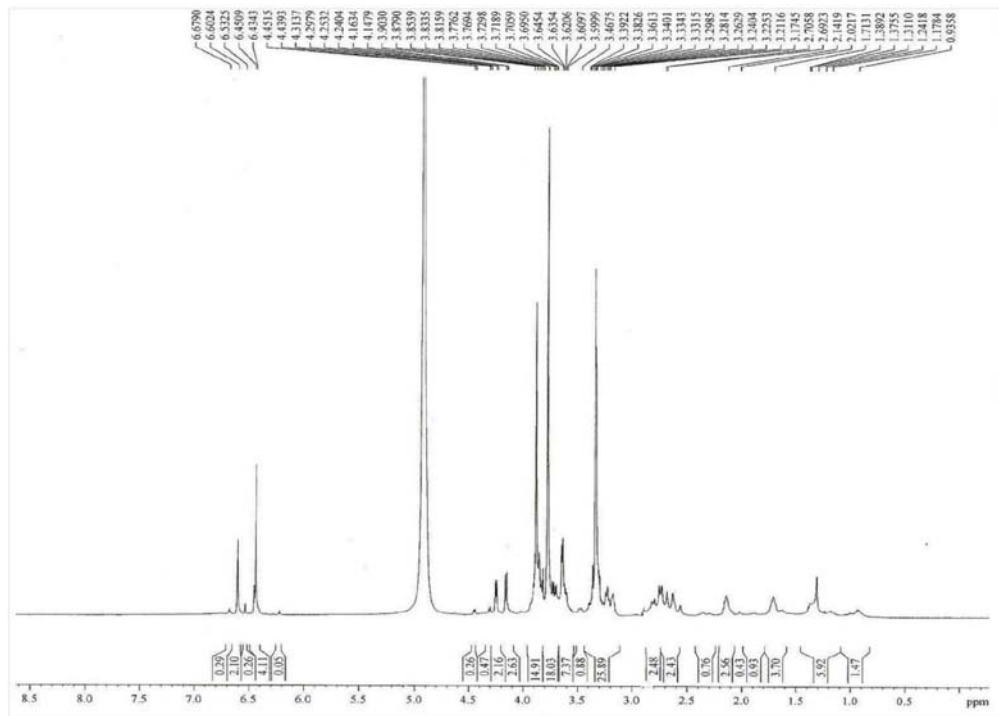


Figura 20S. Espectro de RMN ^1H (300 MHz, CD_3OD) de **10**

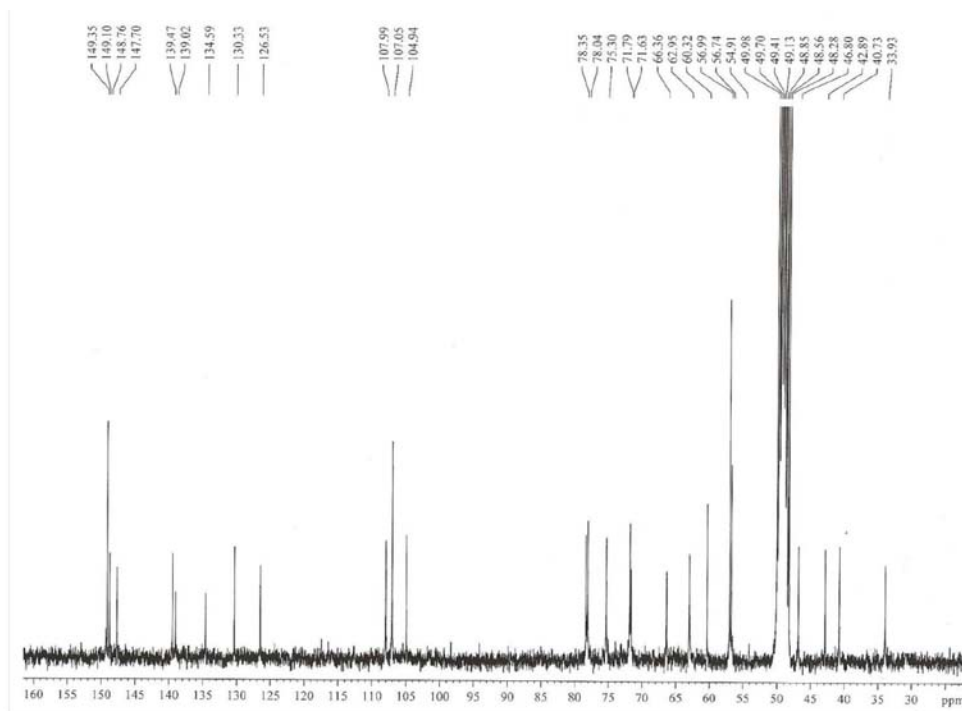


Figura 21S. Espectro de RMN ^{13}C (75 MHz, CD_3OD) de **10**

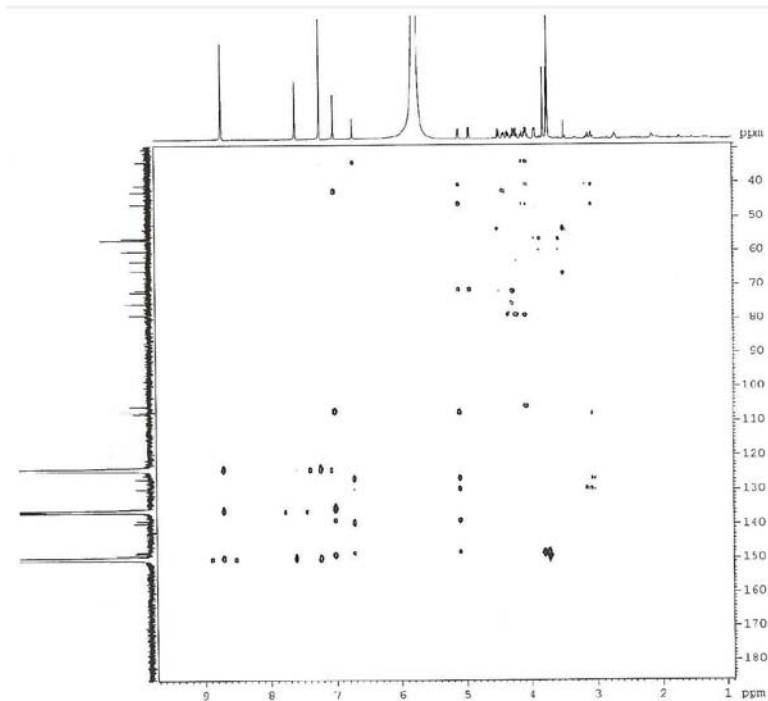


Figura 22S. Espectro de RMN ^1H , ^{13}C HMBC (500 x 125 MHz, $\text{C}_3\text{D}_3\text{N}$) de **10**

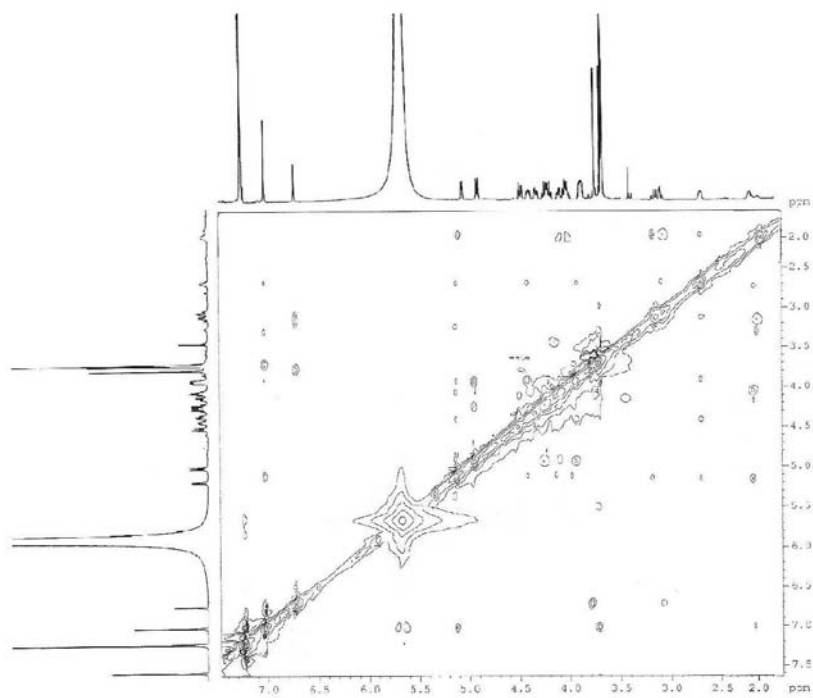


Figura 23S. Espectro de RMN ^1H , ^1H NOESY (500 x 500 MHz, $\text{C}_3\text{D}_3\text{N}$) de **10**

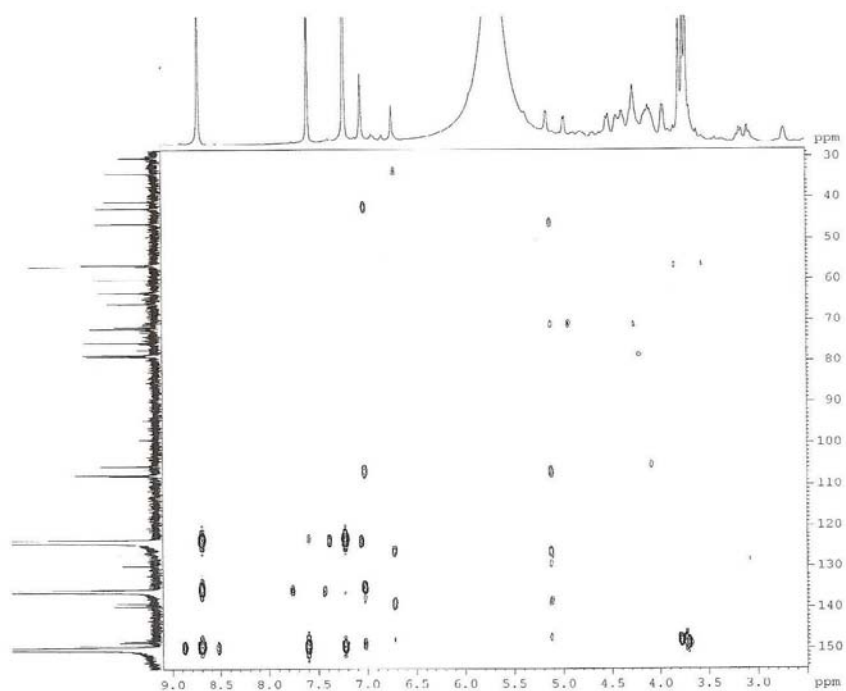


Figura 26S. Espectro de RMN ^1H , ^{13}C HMBC (500 x 125 MHz, $\text{C}_3\text{D}_3\text{N}$) de 11

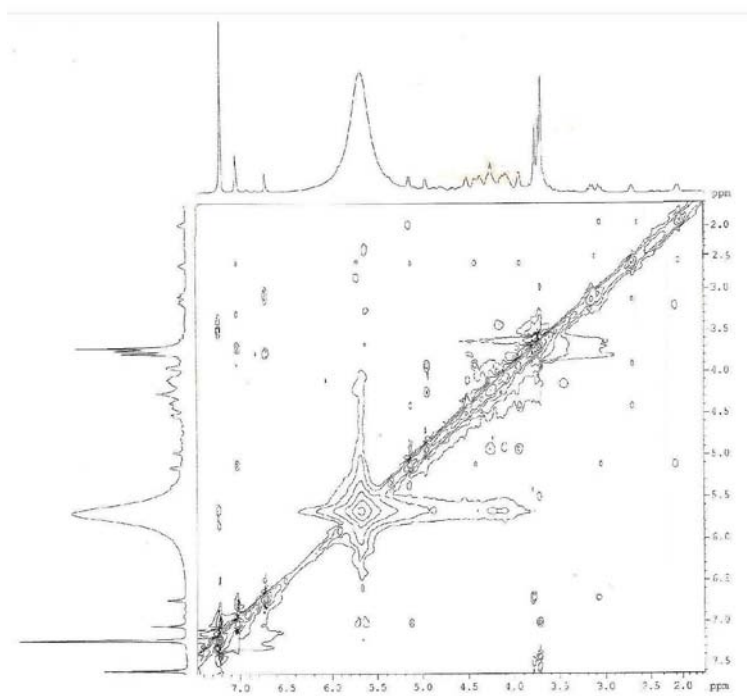


Figura 27S. Espectro de RMN ^1H , ^1H NOESY (500 x 500 MHz, $\text{C}_3\text{D}_3\text{N}$) de 11

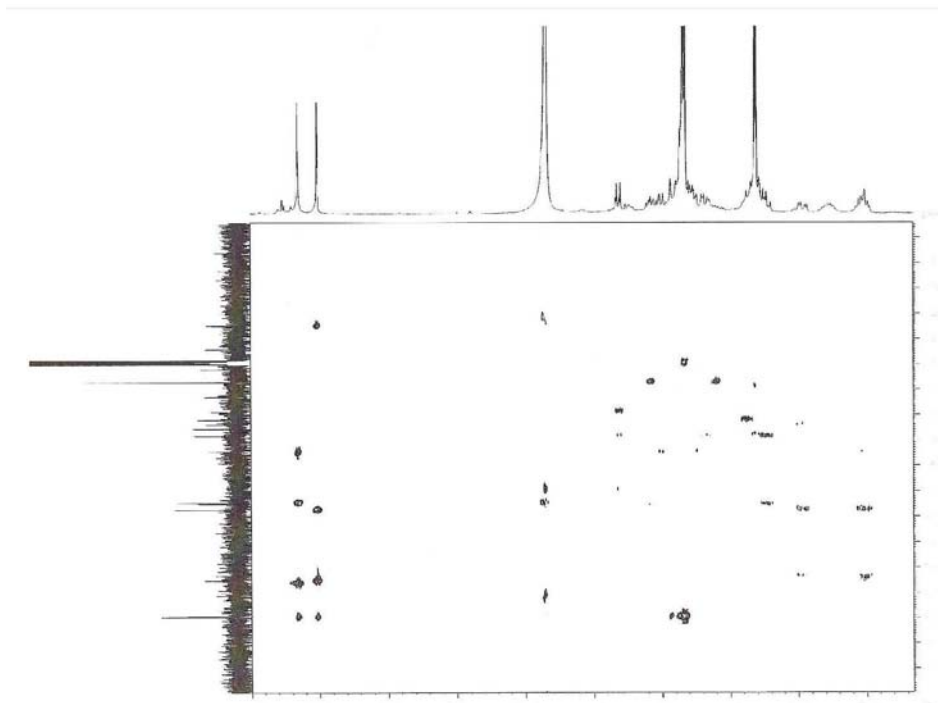


Figura 30S. Espectro de RMN ^1H , ^{13}C HMBC (300 x 75 MHz, CD_3OD) de 12

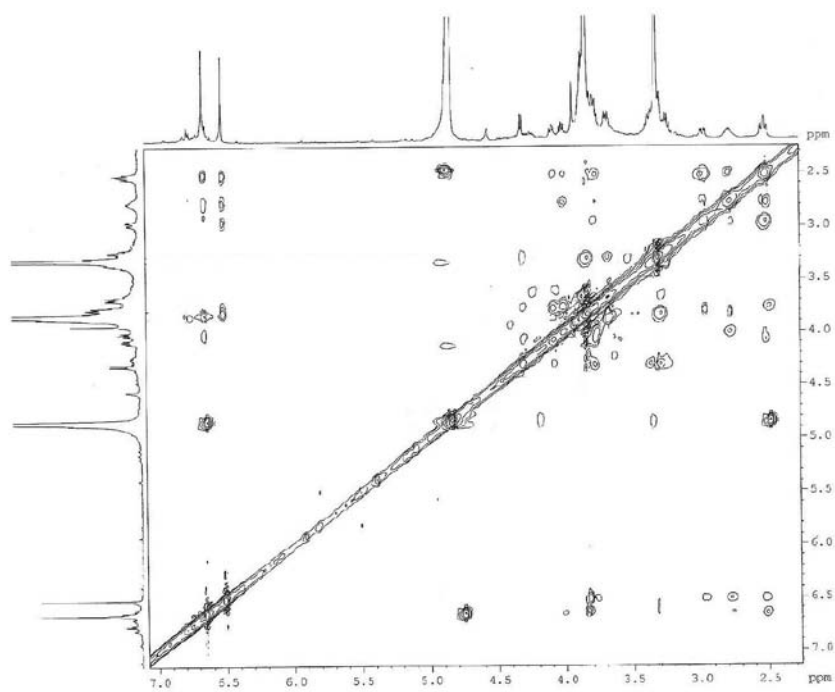


Figura 31S. Espectro de RMN ^1H , ^1H NOESY (300 x 300 MHz, CD_3OD) de 12

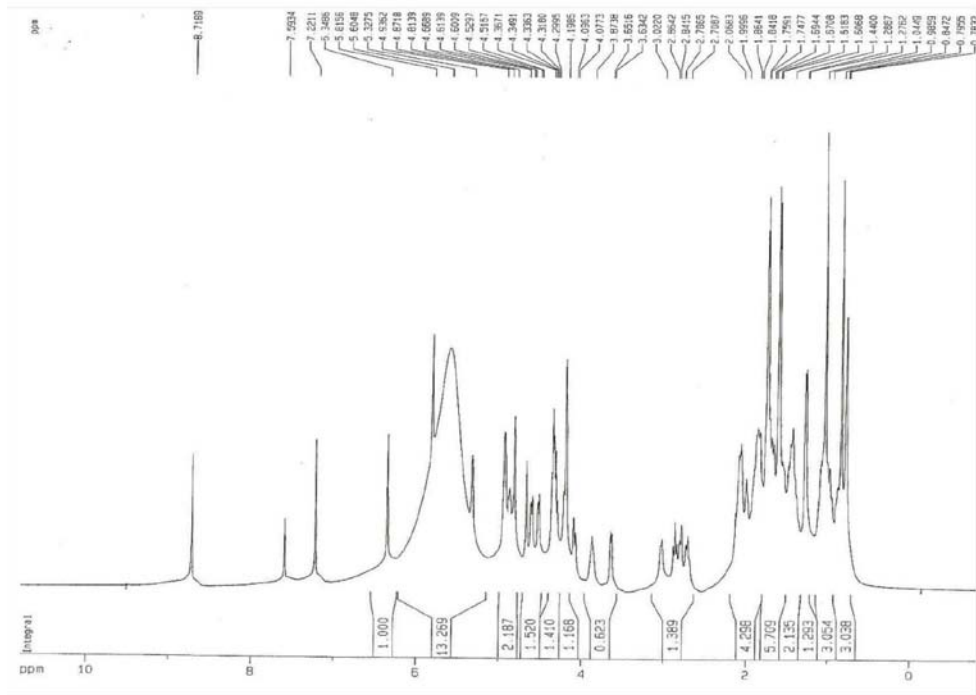


Figura 32S. Espectro de RMN ^1H (500 MHz, $\text{C}_3\text{D}_3\text{N}$) de 13

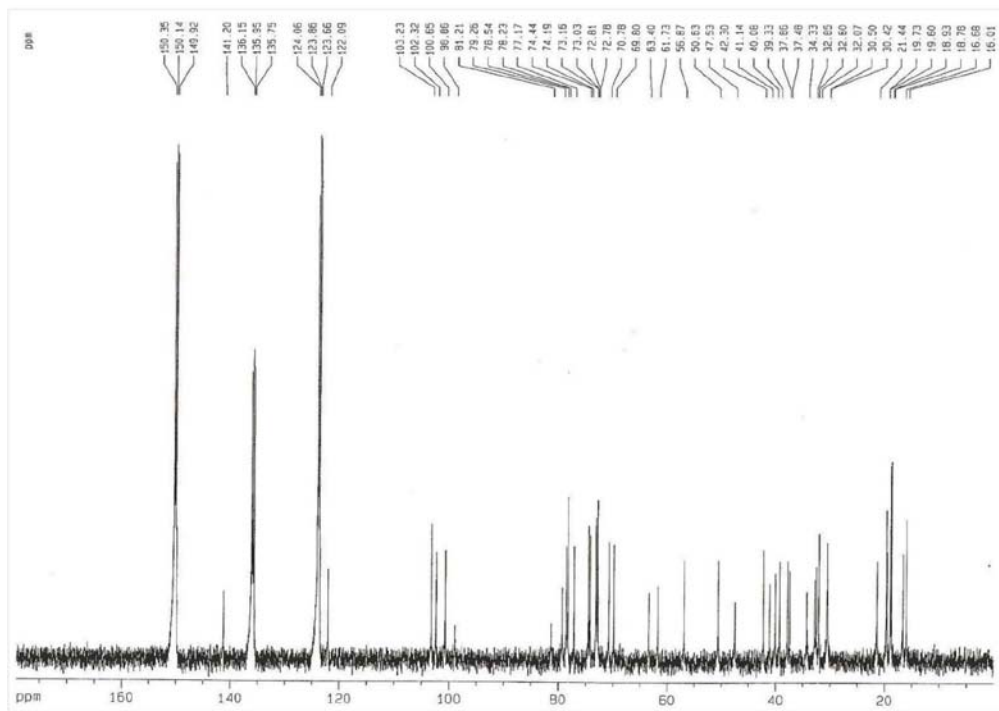


Figura 33S. Espectro de RMN ^{13}C (125 MHz, $\text{C}_3\text{D}_3\text{N}$) de 13